

§4 固体³Heの核磁性

鹿児島大学集中講義 (2007年6月20-22日)
 東京大学大学院理学系研究科 福山 寛

C. Kittel, Introduction to Solid State Physics (4th ed, 1971)

520 15. 反磁性と常磁性

μ である。単位体積当たり、 N 個の原子の磁化は、したがって

$$M = (N_1 - N_2)\mu = N\mu \cdot \frac{e^x - e^{-x}}{e^x + e^{-x}} = N\mu \tanh x \quad (15 \cdot 20)$$

であり、ここに $x \equiv \mu B / k_B T$ である。(15・11) で示した関数 L と (15・20) に示す \tanh との違いは、連続的な配向をとるか、量子化された配向をとるかの違いによるものである。弱磁場展開も違った関数となる。

$x \ll 1$ に対しては $\tanh x \approx x$ であるのでキュリーの式

$$M \approx N\mu(\mu B / k_B T) \quad (15 \cdot 21)$$

となる。ガドリウム塩中の常磁性イオンの結果は図 15・5(a) に、また固体 He^3 中の He^3 原子核を図 15・5(b) に示す。

15. 反磁性と常磁性

521

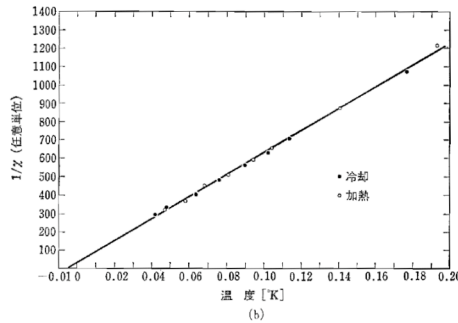


図 15・5 (b) 分子容積 $23.6 \text{ cm}^3/\text{mol}^{-1}$ の固体 He^3 の逆帯磁率。帯磁率は He^3 原子核による。[P. B. Pipes と W.M. Fairbanks, Phys. Rev. Letters, 23, 520 (1969) による.]

Until this age, at least in textbook, nuclear magnetism of solid ^3He had been known as a typical example of paramagnetism.

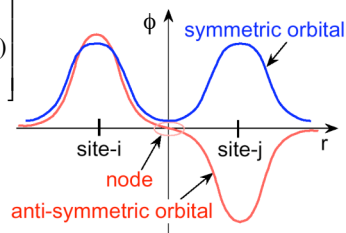
Pomeranchuk (1950)	prediction of $T_c \approx 0.1 \mu\text{K}$ dipole-dipole interactions (E_{d-d})
Bernades-Primakoff (1960)	prediction of $T_c \approx 100 \text{ mK}$ direct exchange interactions (J)

Heisenbergモデル (有効スピンハミルトニアン)

フェルミオン2粒子系の波動関数 (Ψ):

$$\Psi_{\text{singlet}}(r_1, r_2) = \frac{1}{\sqrt{2}} \{ \phi_i(r_1)\phi_j(r_2) + \phi_i(r_2)\phi_j(r_1) \} \frac{1}{\sqrt{2}} \{ \alpha(1)\beta(2) - \beta(1)\alpha(2) \}$$

$$\Psi_{\text{triplet}}(r_1, r_2) = \frac{1}{\sqrt{2}} \{ \phi_i(r_1)\phi_j(r_2) - \phi_i(r_2)\phi_j(r_1) \} \begin{bmatrix} \alpha(1)\alpha(2) \\ \alpha(1)\beta(2) + \beta(1)\alpha(2) \\ \beta(1)\beta(2) \end{bmatrix}$$



これと同じ固有値を与える有効スピンハミルトニアン (H_{eff}):

$$H_{\text{eff}} = \frac{1}{4}(E_s + 3E_t) - (E_s - E_t)\mathbf{S}_1 \cdot \mathbf{S}_2$$

Heisenbergスピンハミルトニアン:

$$H_{\text{Heisenberg}} = -2J_{ij} \sum_{i < j} \mathbf{S}_i \cdot \mathbf{S}_j$$

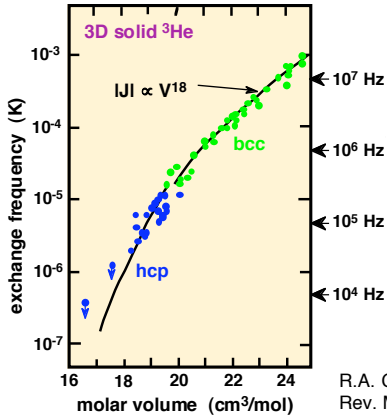
$2J \equiv E_s - E_a$
: 交換相互作用

$J_{ij} > 0$: FM (Coulomb interaction)

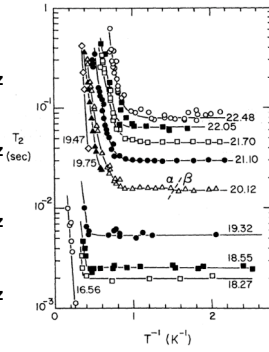
$J_{ij} < 0$: AFM (solid ^3He)

固体³Heの交換相互作用に関する初期の研究

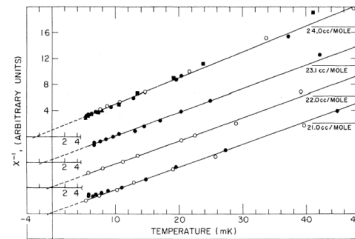
交換相互作用(J)の体積依存性



スピンスピン緩和時間(T_2)



帯磁率



W.P. Kirk et al., PRL **23**, 833 (1969)

antiferromagnetic
 $\theta_w (= -4J) < 0$

strong volume dependence

$$|J| \propto V^{18}$$

$J \approx -1$ mK at melting pressure

exchange narrowing

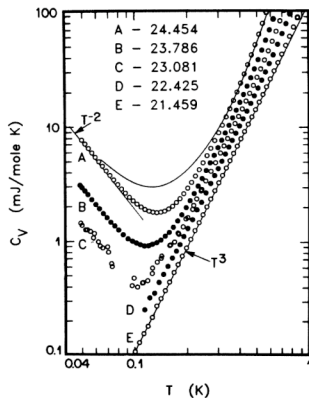
$$T_2 \propto |J|$$

固体³Heの交換相互作用に関する初期の研究 (II)

比熱

exchange term: $C_V \propto J^2/T^2$

phonon term: $C_V \propto T^3$

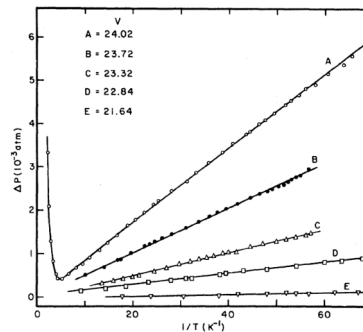


D.S. Greywall, PRB **15**, 2604 (1977)

定積圧力

exchange term: $P_V \propto (\partial J/\partial V)/T$

phonon term: $P_V \propto T^4$



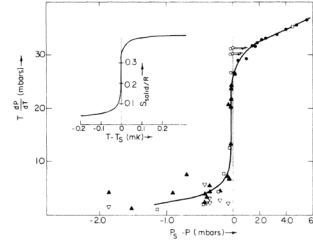
M.F. Panczyk and E.D. Adams,
PR **187**, 321 (1969)

Large energy separation
 $\hbar\omega_D/J \approx 10^4$

固体³Heの核磁気秩序

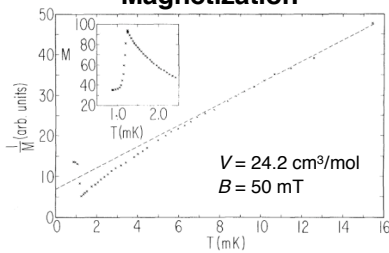
- Strong first-order AFM transition at $T_N = 1$ mK
 $\Delta S = 0.43 \ln 2$ (not spin-Peierls transition)
- AFM spin-waves in ordered phase
 meting pressure $\propto T^4$ ($C \propto T^3$)
- Anomalous behaviour in paramagnetic phase

Entropy



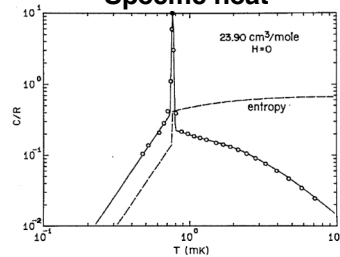
W.P. Halperin et al., PRL **32**, 927 (1974)

Magnetization



T.C. Prewitt and J.M. Goodkind, PRL **39**, 1283 (1977)

Specific heat



D.S. Greywall and P.A. Busch, PRB **36**, 6853 (1987)

磁気相図

H. Fukuyama et al., cond-mat/0505177

H. Fukuyama et al., Physica B **169**, 197 (1991)

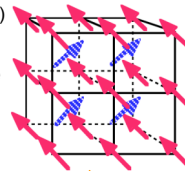
二つのAFM秩序相:

HFP ($B \geq 0.45$ T) CNAF phase

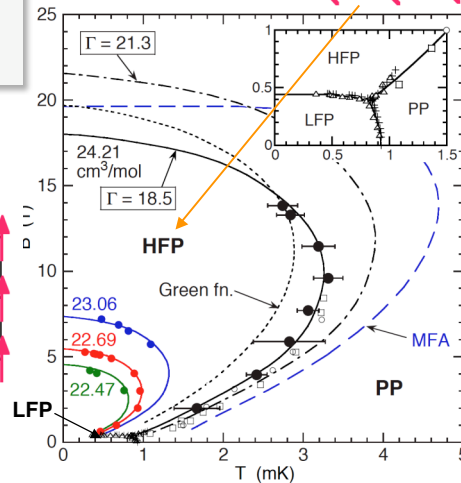
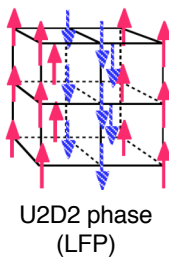
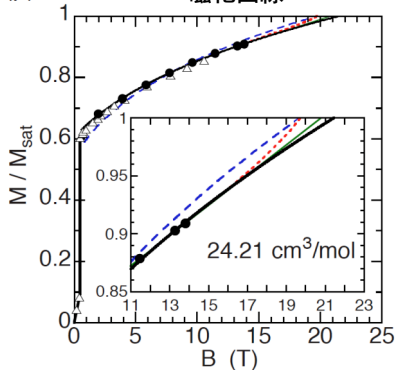
- large magnetization ($M \geq 0.6 M_{\text{sat}}$)
- positive (dT_c/dB)

LFP ($B \leq 0.45$ T) U2D2 phase

CNAF phase
(HFP)



磁化曲線



§4.1 リング交換モデル

J.H. Hetherington and F.D.C. Willard, PRL **35**, 1442 (1975)
 M. Roger, et. al., Rev. Mod. Phys. **55**, 1 (1983)

1. 大きな4体交換相互作用は1次相転移を説明できる

$$F = E - TS$$

$$= F_0 + (2k_B T - a)M^2 + \left(\frac{4}{3}k_B T - b\right)M^4 + \dots$$

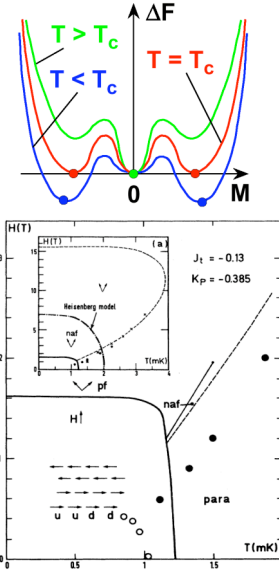
$$b \approx J_4(\sigma_i \cdot \sigma_j)(\sigma_k \cdot \sigma_l)$$

2. 固体³Heの実験的な磁気相図は、3体交換(FM)と4体交換(AFM)の競合として理解できる。

Two parameter model:

- three-spin exchange (T_1) ≈ -0.13 mK
- planar four-spin exchange (K_P) ≈ -0.39 mK

リング交換の寄与は大きい!



続き リング交換モデル (現象論)

VOLUME 35, NUMBER 21

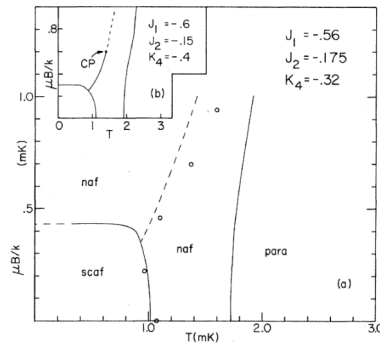
PHYSICAL REVIEW LETTERS

24 NOVEMBER 1975

Two-, Three-, and Four-Atom Exchange Effects in bcc ³He

J. H. Hetherington and F. D. C. Willard
 Physics Department, Michigan State University, East Lansing, Michigan 48824
 (Received 22 September 1975)

We have made mean-field calculations with a Hamiltonian obtained from two-, three-, and four-atom exchange in bcc solid ³He. We are able to fit the high-temperature experiments as well as the phase diagram of Kummer *et al.* at low temperatures. We find two kinds of antiferromagnetic phases as suggested by Kummer's experiments.



J.H. Hetherington and F.D.C. Willard,
 Phys. Rev. Lett. **35**, 1442 (1975)

リング交換 (RE) スピンハミルトニアン

D.J. Thouless, Proc. Phys. Soc. **86**, 893 (1965), *ibid.* **86**, 905 (1965)
M. Roger, J.H. Hetherington and J.M. Delrieu, Rev. Mod. Phys. **55**, 1 (1983)

$$H_{\text{eff}} = \sum_P (-1)^P J_P P$$

P : permutation operator
 J_P : exchange energy

Two-spin exchange
(AFM)

$$P_1 = P_{ij} = \frac{1}{2}(1 + \sigma_i \cdot \sigma_j) \quad \leftarrow \text{Heisenberg type}$$

Three-spin exchange
(FM)

$$P_{ijk} = P_{ij}P_{ij} = \frac{1}{4}(1 + \sigma_i \cdot \sigma_j)(1 + \sigma_i \cdot \sigma_k)$$

$$P_2 = P_{ijk} + P_{ijk}^{-1} = \frac{1}{2}(1 + \sigma_i \cdot \sigma_j + \sigma_j \cdot \sigma_k + \sigma_k \cdot \sigma_i)$$

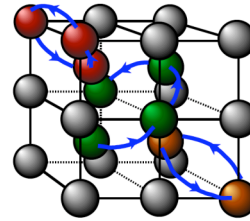
↑ Heisenberg type

Four-spin exchange
(AFM)

$$P_{ijkl} = P_{ijk}P_{il}$$

$$P_3 = P_{ijkl} + P_{ijkl}^{-1} = \frac{1}{4}\left(1 + \sum_{\mu < \nu} \sigma_\mu \cdot \sigma_\nu + G_{ijkl}\right)$$

$$G_{ijkl} \equiv (\sigma_i \cdot \sigma_j)(\sigma_k \cdot \sigma_l) + (\sigma_i \cdot \sigma_l)(\sigma_j \cdot \sigma_k) - (\sigma_i \cdot \sigma_k)(\sigma_j \cdot \sigma_l) \quad \leftarrow \text{new terms}$$



続き リング交換 (RE) スピンハミルトニアン

Five-spin exchange
(FM)

$$P_{ijklm} = P_{ijkl}P_{im}$$

$$P_5 = P_{ijklm} + P_{ijklm}^{-1} = \frac{1}{8}\left(1 + \sum_{\mu < \nu} \sigma_\mu \cdot \sigma_\nu + \sum_{\mu < \nu < \eta < \epsilon} G_{\mu\nu\eta\epsilon}\right)$$

↑ 4-spin terms

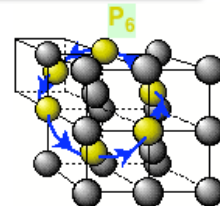
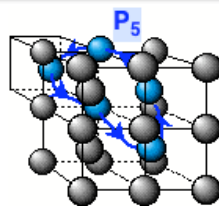
Six-spin exchange
(AFM)

$$P_{ijklmn} = P_{ijklm}P_{in}$$

$$P_6 = P_{ijklmn} + P_{ijklmn}^{-1} = \frac{1}{16}\left(1 + \sum_{\mu < \nu} \sigma_\mu \cdot \sigma_\nu + \sum_{\mu < \nu < \eta < \epsilon} G_{\mu\nu\eta\epsilon} + S_{ijklmn}\right)$$

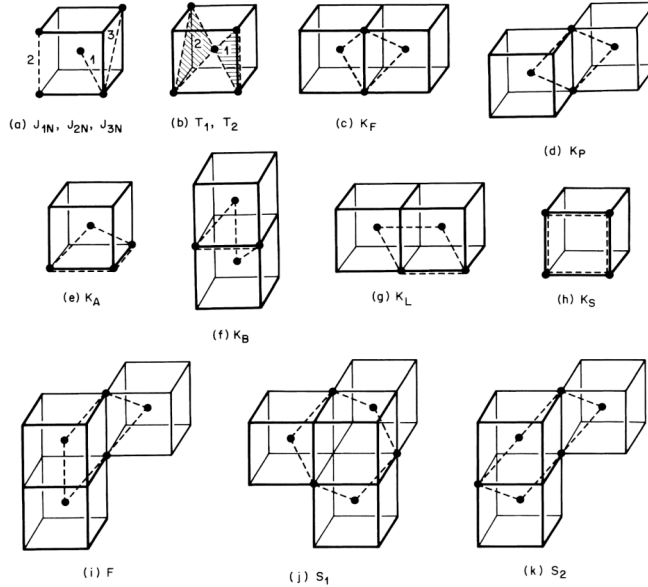
$$S_{ijklmn} \equiv \{(\sigma_i \cdot \sigma_j)(\sigma_k \cdot \sigma_l)(\sigma_m \cdot \sigma_n) + (\sigma_j \cdot \sigma_k)(\sigma_l \cdot \sigma_m)(\sigma_n \cdot \sigma_i) + \dots\}$$

↑ new terms



リング(原子)交換

H. Godfrin and D.D. Osheroff, PRB **38**, 4492 (1988)

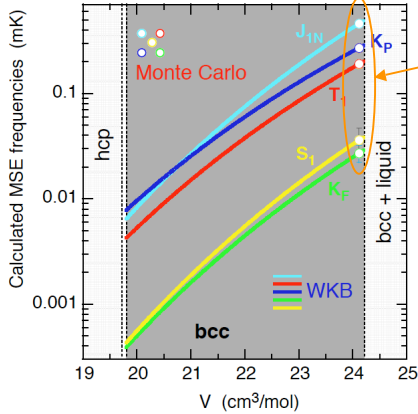


リング交換相互作用のWKB計算

M. Roger, PRB **30**, 6432 (1984)

M. Roger and J.H. Hetherington, PRB **41**, 200 (1990)

• Path-integral Monte Carlo (PIMC) calculations
D.M. Ceperley and G. Jacucci, PRL **58**, 1648 (1987)



$$J_P = C_P s_P \exp(-A_P/g)$$

$A_P \approx L\sqrt{V_{max}}$: action

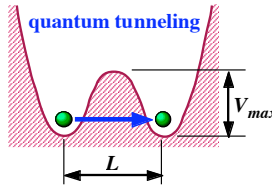
$$g = \hbar(8m\sigma^2\varepsilon)^{-1/2} (a/\sigma)^5$$

C_P : prefactor

s_P : symmetry factor

ε, σ : parameters in L-J potential

a : lattice constant



- $\Gamma(J_{1N}) \approx 18$: two-spin
- $\Gamma(T_1) \approx 16$: three-spin
- $\Gamma(K_p) \approx 15$: four-spin
- $\Gamma(K_f) \approx 18$: four-spin
- $\Gamma(S_1) \approx 19$: six-spin

Different MSEs should have different Grüneisen constants.

$$\Gamma(J_P) \equiv \frac{\partial \ln J_P}{\partial \ln V} \approx \frac{5A_P}{3g}$$

続き リング交換相互作用のWKB計算

2D systems with r^{-12} potential

M. Roger, PRB 30, 6432 (1984)

$$J_P = C_P s_P \exp(-A_P/g), \quad A_P \approx L\sqrt{V_{\max}}$$

$$\Gamma(J_P) \equiv \frac{\partial \ln J_P}{\partial \ln V} \approx \frac{5A_P}{3g}$$

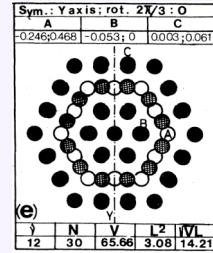
Twelve-spin

$$V_{\max} = 65.7$$

$$L^2 = 3.08$$

$$A_P = 14.21$$

$$N = 30$$



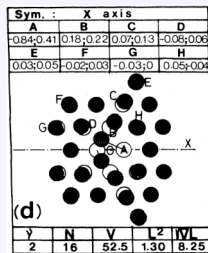
Two-spin

$$V_{\max} = 52.5$$

$$L^2 = 1.30$$

$$A_P = 8.25$$

$$N = 16$$



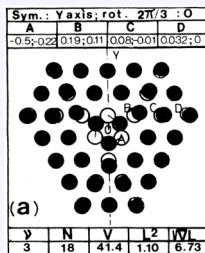
Three-spin

$$V_{\max} = 41.4$$

$$L^2 = 1.10$$

$$A_P = 6.73$$

$$N = 18$$



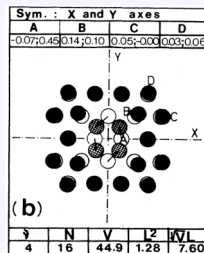
Four-spin

$$V_{\max} = 44.9$$

$$L^2 = 1.28$$

$$A_P = 7.60$$

$$N = 16$$



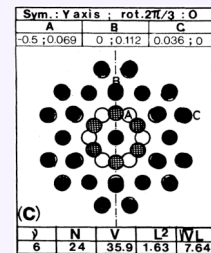
Six-spin

$$V_{\max} = 35.9$$

$$L^2 = 1.63$$

$$A_P = 7.64$$

$$N = 24$$



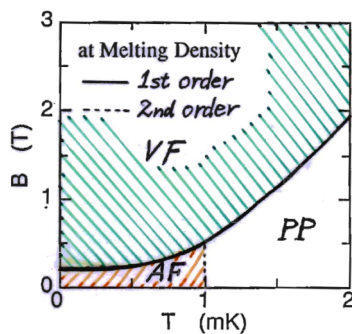
リング交換以外のモデル

空格子点モデル

A.F. Andreev et al., JETP Lett. 26, 36 (1978)

FM polaron due to zero-point vacancy (ZPV)

- Nagaoka theorem for bipartite lattice (bcc)
- absence of upper critical field (B_{c2}) for HFP



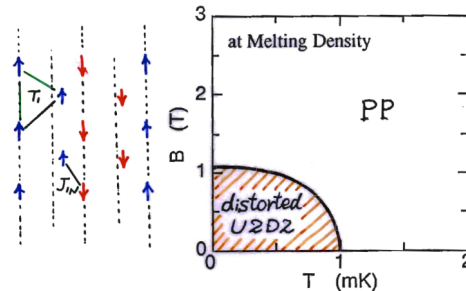
スピンPeierlsモデル

R.A. Guyer and P. Kumar, JLTTP 47, 321 (1982)

Anisotropic lattice distortion

$$\approx 10^{-2}$$

- no explanation for HFP
- $|J|$ (≈ 1 mK) is too small compared to θ_D (≈ 10 K).



強磁性的スピンポーロン

First of all, ZPV (or hole) should exist in solid ^3He .

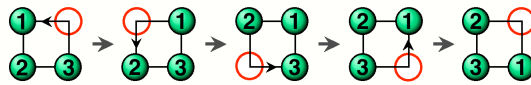
A.F. Andreev and I.M. Lifshitz, Sov. Phys. JETP **29**, 1107 (1969)
 H. Matsuda and T. Tsuneto, Suppl. Prog. Theor. Phys. **46**, 411 (1970)

⇒ S. Miyashita (O-03)

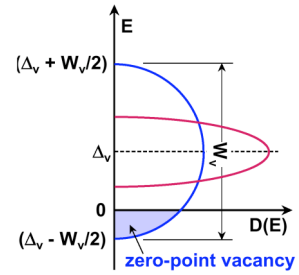
Nagaoka theorem requires FM ground state for bipartite lattices with single hole,

Y. Nagaoka, PR **147**, 392 (1966)

because hopping back of a hole to original position always results in odd particle permutation.



FM polaron is created in AFM background at $T = 0$.



ferromagnetic polaron

